

基于 NS2 的网络负载自适应 DCF 实现及性能分析

宋 军¹ 金艳华¹ 宋 文²

(重庆交通大学信息科学与工程学院 重庆 400074)¹ (重庆邮电大学通信与信息工程学院 重庆 400065)²

摘要 根据网络负载自适应 DCF 机制的工作流程,对 NS2 网络仿真软件的 IEEE802.11 无线局域网仿真模块-Mac_802.11 类进行了修改和扩展,实现了 NS2 对网络负载自适应 DCF 机制的仿真。结果表明,与标准 DCF 机制相比,网络负载自适应 DCF 机制对 IEEE802.11 无线局域网的吞吐量、时延、时延抖动和公平性等方面的性能均有所提高。

关键词 网络仿真, NS2, IEEE802.11 无线局域网, 网络负载自适应 DCF

中图分类号 TP393.04 **文献标识码** A

Load Self-adaptive DCF Implement and Performance Analysis Based on NS2

SONG Jun¹ JIN Yan-hua¹ SONG Wen²

(College of Information Science and Engineering, Chongqing Jiaotong University, Chongqing 400074, China)¹

(School of Communication and Information Engineering, Chongqing University of Post and Telecommunication, Chongqing 400065, China)²

Abstract According to the running process of load self-adaptive DCF mechanism, the simulation module of IEEE802.11 WLAN- Mac_802.11 class in NS2 was modified and extended to implement the simulation of load self-adaptive DCF mechanism by NS2. Simulation results indicate, compared with standard DCF mechanism, the load self-adaptive DCF mechanism can enhance the performance of IEEE802.11 WLAN in throughput, delay, delay jitter and fairness.

Keywords Network simulation, NS2, IEEE802.11 WLAN, Load self-adaptive DCF

随着网络结构和规模的复杂化以及网络应用的多样化,网络仿真在协议设计、性能分析等方面发挥着越来越重要的作用。NS2, OPNET, QualNET 是目前比较流行的网络仿真工具,其中 NS2 具有源代码开放、扩展灵活等优点,被广泛应用于网络分析、研究和教学中^[1]。据统计,在 ACM 和 IEEE 各种期刊上发表的相关学术论文中,近 50% 的论文采用 NS2 进行网络仿真与性能分析,如表 1 所列。

表 1 网络仿真工具使用率比较

仿真器	NS2	OPNET	QualNET
传输层及以上层	75%	18%	7%
网络层	70%	18%	12%
MAC 层及物理层	43%	36%	21%

数据来源于: ACM Digital Library and IEEEExplore searches

IEEE802.11 无线局域网采用 DCF 机制作为基本接入方式^[2],实现比较简单,得到了广泛应用,并成为当前的研究热点。但在站点数量较多的情况下,标准 DCF 机制将导致 IEEE802.11 无线局域网的吞吐量、时延、公平性等性能明显恶化^[3]。为此,国内外学者从建模分析推导优化参数^[4,5]和改变竞争窗口调节机制^[6-10]等方面提出了大量改进措施,以提高 IEEE802.11 无线局域网的性能。

本文在深入分析 IEEE802.11 无线局域网网络负载自适

应 DCF (Load Self-Adaptive DCF, LSAD) 改进机制的基础上,通过对 NS2 网络仿真软件的 IEEE802.11 无线局域网仿真模块进行修改和扩展,设计和实现了网络负载自适应 DCF 机制仿真模块,并通过大量仿真实验,对 IEEE802.11 无线局域网标准 DCF 机制和网络负载自适应 DCF 机制的吞吐量、平均时延、时延抖动和公平性等性能进行了详细分析和比较。

1 NS2 仿真软件

NS2 是一个基于离散事件的网络仿真器,具有丰富的构件库,提供在无线或有선网络上的 TCP、路由、多播等多种协议的模拟,支持广域网、局域网、移动通信网等类型的网络运行全过程仿真。NS2 中常用的网络组件包括节点(Node)、链路(Link)、代理(Agent)、应用(Application)、队列(Queue)、跟踪(Trace)对象等,分别仿真网络上的主机和网络设备、包缓冲和传输延时、传输层协议、网络业务流量和应用层协议,以及配置跟踪参数、填写跟踪文件。

NS2 采用 OTcl 和 C++ 两种语言进行开发,其中仿真网络环境布置采用 OTcl 脚本语言编写,以快速完成网络组件、环境参数的设置和改变;事件调度器和基本网络组件对象采用 C++ 语言编写,以提高具体协议的仿真效率;OTcl 解释器则通过 OTcl 链接对编译后的 C++ 网络组件对象进行调

到稿日期:2008-07-26 本文受重庆市自然科学基金(CSTC2006BB2413),重庆市科技攻关项目(CSTC2008AC2075),重庆市教委科技研究项目(KJ080425)资助。

宋 军(1971-),男,博士,副教授,硕士生导师,研究方向为宽带网络技术、嵌入式系统、智能交通系统,E-mail: songjun_cq@163.com;金艳华(1984-),男,硕士研究生,研究方向为无线网络技术、嵌入式系统;宋 文(1983-),男,硕士研究生,研究方向为移动通信技术、嵌入式系统。

用。利用 NS2 进行网络仿真的基本流程如下:

1. 问题定义。用户首先需要考虑仿真的网络拓扑结构应该如何布置,是否需要源代码进行修改或添加等;
2. 是否需要修改源代码。一般情况下,用户可以利用 NS2 中已有的构件完成仿真工作,此时只需要编写 Tcl 脚本对网络仿真环境进行设置;仿真新设计的网络协议或算法,则需要修改 NS2 源代码或者编写新的 C++ 和 Otcl 实现代码,并将它们编译、链接到 NS2 内核中,使 NS2 支持新的协议或算法;
3. 编写 Tcl 仿真脚本。根据所需仿真的网络环境,编写相关 Tcl 脚本文件;
4. 进行仿真。利用 NS2 执行 Tcl 脚本完成仿真工作;
5. 分析结果。仿真程序运行结束后,将生成相应的 Trace 文件,用户可以利用 Trace 文件中的数据对网络性能进行分析和研究。

2 网络负载自适应 DCF

IEEE802.11 无线局域网成功发送一次数据帧的过程如图 1 所示, t_v 为站点成功传送一个数据帧所经历的时间; t_{coll} 为本站点在 t_v 时间段内因冲突所花费的时间; t_{free} 为本站点在 t_v 时间段内因退避或延迟而产生的空闲时间, t_{pack} 为本站点成功发送数据帧的开销, t_{succ} 为其他站点成功发送数据帧的开销。

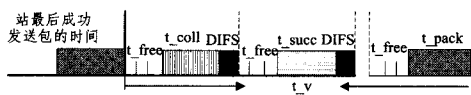


图 1 数据发送过程

在当前竞争窗口相对于站点数过小时,将产生频繁碰撞和退避,退避站点的竞争窗口短期内维持较大值,成功发送站点的竞争窗口经常重置而保持在较小值,其接入信道的概率比退避站点大,从而占用更多的信道带宽;在当前竞争窗口相对于站点数过大时,将产生不必要的退避时延,使整个网络的时延增大。因此,标准 DCF 机制中,站点采用固定的初始竞争窗口接入信道,随着网络中站点数量的增加,将造成冲突过多和频繁退避,最终导致网络的吞吐量、时延和公平性等性能明显恶化。

网络负载自适应 DCF 机制中,站点通过对网络负载情况的实时监测和初始竞争窗口的动态调整,减少冲突和频繁退避,提高网络性能。其主要工作步骤如下:

(1) 网络中的每个站点在数据发送过程中,独立地实时监测和统计信道冲突时间 t_{coll} 和信道空闲时间 t_{free} 。

(2) 站点在每次成功传输一个数据帧后,首先根据式(1)和式(2)计算出信道平均冲突时间 t_{coll_avg} 和信道平均空闲时间 t_{free_avg} ,然后根据式(3)计算出实时网络负载 L :

$$t_{coll_avg} = \lambda * t_{coll_avg} + (1 - \lambda) * t_{coll} \quad (1)$$

$$t_{free_avg} = \lambda * t_{free_avg} + (1 - \lambda) * t_{free} \quad (2)$$

$$L = t_{coll_avg} / t_{free_avg} \quad (3)$$

其中, λ 为平滑随机抖动参数,取值 0.925。

(3) 站点根据实时网络负载 L 与理论最优值 L_{opt} 的比较结果,调整初始竞争窗口:

①当 $L > L_{opt} + \sigma$ 时,站点将初始竞争窗口减少一倍, $cw_w =$

$(cw_w + 1) / 2 - 1$ 。

②当 $L < L_{opt} - \sigma$ 时,站点将初始竞争窗口增大一倍, $cw_w = (cw_w + 1) * 2 - 1$ 。

③当 $L_{opt} - \sigma < L < L_{opt} + \sigma$ 时,站点的初始竞争窗口保持不变。

其中, σ 为触发窗口调节机制的门限值,取值 0.3。

3 仿真模块设计与实现

在 NS2 中, IEEE802.11 无线局域网的仿真由 Mac802_11 类实现。Mac802_11 类定义了 IEEE802.11 无线局域网标准 DCF 机制的所有操作方法,但不支持各种 DCF 改进机制的仿真。本节将详细描述对 NS2-2.29 版本中的 Mac802_11 类的修改和扩展,以实现网络负载自适应 DCF 机制的仿真。

3.1 信道冲突时间 t_{coll} 统计

当站点在传输一个数据帧过程中产生冲突时,将调用 Mac802_11 类的 RetransmitRTS() 或 RetransmitDATA() 函数重传 RTS 帧或数据帧。因此,可以在这两个函数中对信道冲突时间 t_{coll} 进行统计。

调用 RetransmitRTS() 函数重传 RTS 帧时,则上次传输该 RTS 帧所消耗的时间为信道冲突时间,即 $t_{coll} = \text{RTS} + \text{SIFS}$;若调用 RetransmitDATA() 函数重传 DATA 帧时,则上次传输该 DATA 帧所消耗的时间为信道冲突时间,即 $t_{coll} = \text{DATA} + \text{SIFS} + \text{ACK} + \text{DIFS}$ 。实现代码见 3.2 节中修改后的 RetransmitRTS() 和 RetransmitDATA() 函数。

3.2 信道空闲时间 t_{free} 统计

在站点成功发送一个数据帧的过程中,可能产生以下延迟或退避时间:

1. 当数据帧由上层到达 IEEE802.11 MAC 层时,将调用 Mac802_11 类的 send() 函数。send() 函数首先完成发送数据的准备,然后检测退避定时器状态,如果退避定时器已启动,则等待退避定时器超时,退避定时器的剩余时间将计入 t_{free} ;如果退避定时器没有启动,将检测信道状态,如果信道忙,则启动退避定时器,所确定的退避时间将计入 t_{free} ;如果信道空闲,将检测延迟定时器状态,如果延迟定时器没有启动,则启动延迟定时器,所确定的延迟时间将计入 t_{free} ;如果延迟定时器已启动,则等待延迟定时器超时,延迟定时器的剩余时间将计入 t_{free} 。

2. 当退避定时器或延迟定时器超时后,将调用 backoffHandler() 或 deferHandler() 函数,这两个函数将进一步调用 check_pktRTS() 或 check_pktTx() 函数进行数据发送。check_pktRTS() 或 check_pktTx() 函数将检测信道状态,如果信道空闲,则调用 transmit() 函数,将 RTS 帧或数据帧发送到物理信道上;如果信道忙,则退避窗口增大一倍,并重新启动退避定时器,所确定的退避时间将计入 t_{free} 。当退避定时器再次超时,将重复执行本环节,直至将 RTS 帧或数据帧发送到物理信道上。

3. 当 RTS 帧或数据帧在发送过程中产生冲突时,将调用 RetransmitRTS() 或 RetransmitDATA() 函数进行重传。此时,将退避窗口增大一倍后启动退避定时器,所确定的退避时间将计入 t_{free} 。

因此,统计一个数据帧成功发送过程中总的信道空闲时

间 t_free , 需要修改 Mac802_11 类的 send(), check_pktRTS(), check_pktTx(), RetransmitRTS() 和 RetransmitDATA() 等函数。限于篇幅, 仅给出 RetransmitRTS() 和 RetransmitDATA() 函数的部分修改代码:

```

Void Mac802_11::RetransmitRTS()
{
    assert(mhBackoff_.busy() == 0);
    macmib_.RTSFailureCount++;
    t_coll += (txtime(phymib_.getRTSlen(), basicRate_) + phymib_.
getEIFS());
    ssrc_ += 1;
    if(ssrc_ >= macmib_.getShortRetryLimit())
    {
        ...
    }
    else
    {
        struct rts_frame * rf;
        rf = (struct rts_frame *) pktRTS_->access(hdr_mac_; offset
_);
        rf->rf_fc.fc_retry = 1;
        inc_cw();
        mhBackoff_.start(cw_, is_idle());
        t_free += ((Random::random() % cw_) * phymib_.getSlot-
Time());
    }
}
Void Mac802_11::RetransmitDATA()
{
    struct hdr_cmh * ch;
    struct hdr_mac802_11 * mh;
    u_int32_t * rcount, thresh;
    ch = HDR_CMH(pktTx_);
    mh = HDR_MAC802_11(pktTx_);
    t_coll += (phymib_.getDIFS() + txtime(phymib_.getACKlen
()), basicRate_) + phymib_.getSIFS() + txtime(pktTx_);
    if((u_int32_t) ETHER_ADDR(mh->dh_ra) == MAC_
BROADCAST)
    {
        Packet::free(pktTx_);
        pktTx_ = 0;
        inc_cw();
        mhBackoff_.start(cw_, is_idle());
        t_free += ((Random::random() % cw_) * phymib_.getSlot-
Time());
        return;
    }
    macmib_.ACKFailureCount++;
    if((u_int32_t) ch->size() <= macmib_.getRTSThreshold())
    {
        ...
    }
    (*rcount)++;
    if(*rcount >= thresh)
    {
        ...
    }
}

```

```

}
else
{
    struct hdr_mac802_11 * dh;
    dh = HDR_MAC802_11(pktTx_);
    dh->dh_fc.fc_retry = 1;
    sendRTS(ETHER_ADDR(mh->dh_ra));
    inc_cw();
    mhBackoff_.start(cw_, is_idle());
    t_free += ((Random::random() % cw_) * phymib_.getSlot-
Time());
}
}
}
}

```

3.3 网络负载更新及竞争窗口调节

笔者新开发了 Refresh_load() 和 Adjust_cw() 函数, 以实现网络负载更新和初始竞争窗口调节。当站点成功发送一个数据帧后, 将接收到目的站点反馈的确认帧, 此时源站点将调用 recvACK() 函数对确认帧进行处理, 以结束此次成功的数据帧发送过程。因此, 可以在 recvACK() 函数中, 调用 Refresh_load() 和 Adjust_cw() 函数来完成对网络负载状况的更新和站点初始竞争窗口的调节。Refresh_load() 和 Adjust_cw() 函数的实现代码如下:

```

double Refresh_load()
{
    t_coll_avg = b_sr * t_coll_avg + (1 - b_sr) * t_coll;
    t_free_avg = b_sr * t_free_avg + (1 - b_sr) * t_free;
    if(t_free_avg <= 0) l_now = l_opt;
    else l_now = t_coll_avg / t_free_avg;
    return l_now;
}
void Adjust_cw()
{
    if(l_now > l_opt + a_tv)
    {
        cw_ = (cw_ + 1) * 2 - 1;
    }
    else if(l_now < l_opt - a_tv)
    {
        cw_ = (cw_ + 1) / 2 - 1;
    }
    else cw_ = cw_;
    if(cw_ > (phymib_.getCWMax()))
        cw_ = (phymib_.getCWMax());
    if(cw_ < (phymib_.getCWMin()))
        cw_ = (phymib_.getCWMin());
}
}
}
}

```

4 仿真及性能分析

笔者在完成网络负载自适应 DCF 机制仿真模块开发的基础上, 编写 Tcl 脚本, 进行了大量仿真实验, 以便对网络负载自适应 DCF 机制和标准 DCF 机制的性能进行分析和比较。

4.1 仿真环境设置

仿真的网络拓扑结构如图 2 所示, 其中偶数站点为发送方, 奇数站点为接收方。传输层代理采用 TCP 协议, 应用层

绑定 FTP 数据流。表 2 给出了网络仿真的主要参数设置。

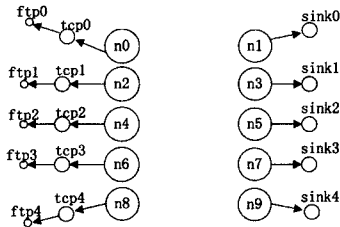


图 2 仿真网络拓扑结构

表 2 仿真参数

信道带宽	1Mbps
站点数量	50,70,100,130,160
竞争窗口最小值 CW _{min}	31
竞争窗口最大值 CW _{max}	1023
最优负载 l _{opt}	0.85
门限值 σ	0.3

4.2 性能分析

吞吐量分析。各种网络规模下的网络平均吞吐量如图 3 所示。随着网络中站点数量不断增加,标准 DCF 机制和网络负载自适应 DCF 机制的网络平均吞吐量均呈下降趋势,但网络负载自适应 DCF 机制的网络平均吞吐量提高了约 6%。

时延分析。各种网络规模下的平均时延如图 4 所示。随着网络中的站点数量不断增加,标准 DCF 机制和网络负载自适应 DCF 机制的平均时延都呈增大趋势,但网络负载自适应 DCF 机制的平均时延始终小于标准 DCF 机制;当网络规模超过为 100 个站点后,标准 DCF 机制的平均时延迅速增大,网络负载自适应 DCF 机制的平均时延始仍然呈缓慢上升趋势。

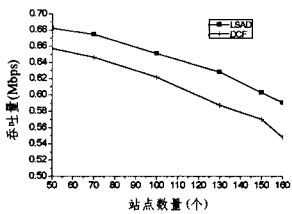


图 3 网络平均吞吐量

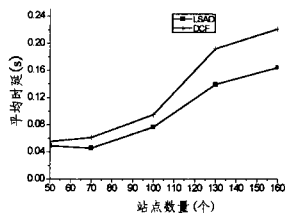


图 4 网络平均时延

时延抖动分析。标准 DCF 机制和网络负载自适应 DCF 机制的时延抖动如图 5 所示。

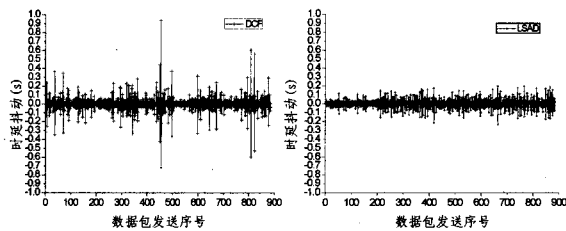


图 5 时延抖动比较

标准 DCF 机制的时延抖动很大,最大幅度达到了-0.718s 至+0.935s;此外,标准 DCF 机制的时延抖动幅度出现剧烈变化的频率较高,经常超出 $\pm 0.1s$ 范围。网络负载自适应 DCF 机制的时延抖动较小,最大幅度在-0.211s 至+0.241s

之间,比标准 DCF 机制的时延抖动幅度小得多;同时,网络负载自适应 DCF 机制的时延抖动幅度通常维持在 $\pm 0.1s$ 之间,不会出现频繁的剧烈变化。

公平性分析。网络中各个站点的平均吞吐量如图 6 所示。标准 DCF 机制中各站点的平均吞吐量相差很大,信道带宽的分配极不公平,例如,18 号站点的平均吞吐量为 0.025 Mbps,而 28 号站点的平均吞吐量为 0.079Mbps,是 18 号站点的 2.16 倍;网络负载自适应 DCF 机制中各个站点的平均吞吐量基本上都维持在 0.048Mbps 左右,各站点占用的信道带宽相差很小,网络信道带宽的分配比较公平。因此,网络负载自适应 DCF 机制显著改善信道带宽分配的公平性。

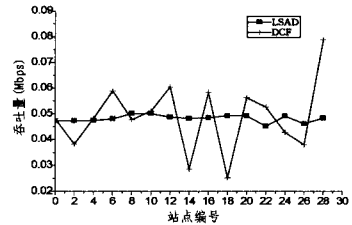


图 6 站点平均吞吐量

结束语 本文结合 IEEE802.11 无线局域网网络负载自适应 DCF 机制,基于 NS2 开发了相应的仿真模块,实现了 NS2 中网络负载自适应 DCF 机制的仿真。仿真结果表明,与标准 DCF 机制相比,网络负载自适应 DCF 机制对 IEEE802.11 无线局域网的网络吞吐量和平均时延有一定的提高,但改善并不明显,而对时延抖动和公平性有较大改善。

参考文献

- [1] Fall K, Varadhan K. The ns Manual [EB/OL]. <http://www.isi.edu/nsnam/ns/doc>. 2003
- [2] IEEE Std. 802.11, 1999 Edition, Part II; IEEE 802.11 Wireless LAN medium access control (MAC) and physical (PHY) layer specifications[S], 1999
- [3] Peng Y, Wu H T, Long K P, et al. Simulation analysis of TCP performance on IEEE 802.11 Wireless LAN[J]//Proc. of the ITIN2001, 2001;520-525
- [4] Cali F, Conti M, Gregori E. IEEE 802.11 protocol: Design and performance evaluation of an adaptive backoff mechanism[J]. IEEE JSAC, 2000, 18(9)
- [5] Bianchi G. Performance analysis of the IEEE802.11 distributed coordination function. IEEE JSAC, 2000, 18(3)
- [6] Ozugur T, Naghshineh M, et al. Fair media access for wireless LANs[J]//Proc. of the GLOBECOM'99. 1999;570-579
- [7] Aad I, Castelluccia C. Differentiation mechanisms for IEEE 802.11[J]//Proc. of the ICCS^{20th}. 2001;209-218
- [8] Younggoo K, Yugang F, Haniph L. A Novel MAC Protocol with Fast Collision Resolution for Wireless LANs[J]//Proc. of IEEE InfoCom'2003. 2003
- [9] 彭泳,程时端.一种自适应无线局域网协议[J].软件学报,2004(4):604-615
- [10] 刘岩,舒炎泰,张亮,等.无线网络中分布式协调功能的改进[J].计算机应用,2004(7):162-166